

FT-IR	本体測定: 低空間分解能	透過法 反射法	ATR法
	顕微測定: 高空間分解能	透過法 反射法	透過イメージング / マッピング 反射イメージング / マッピング ATRイメージング / マッピング

図1 FT-IRの測定方法

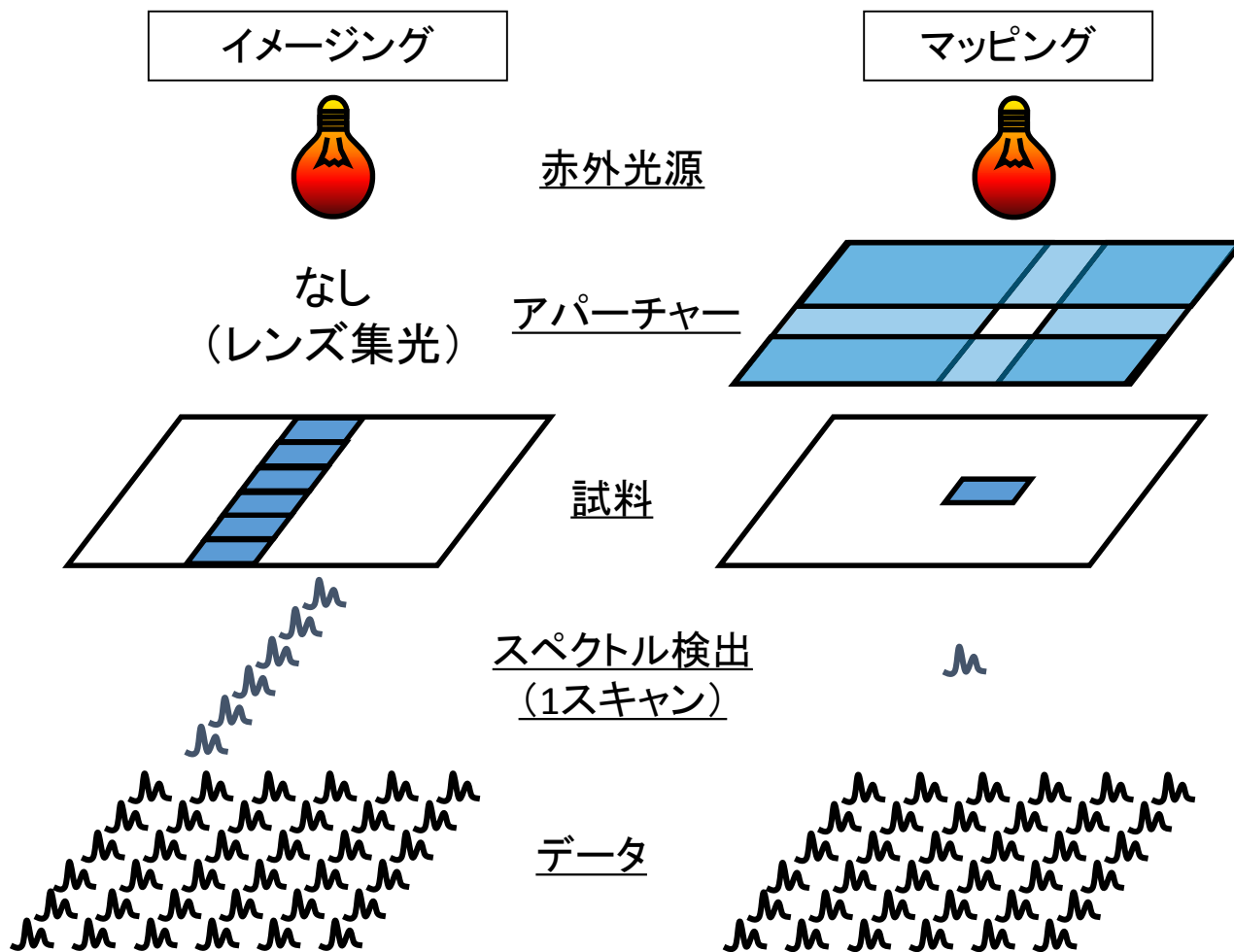


図2 「イメージング」と「マッピング」の違い

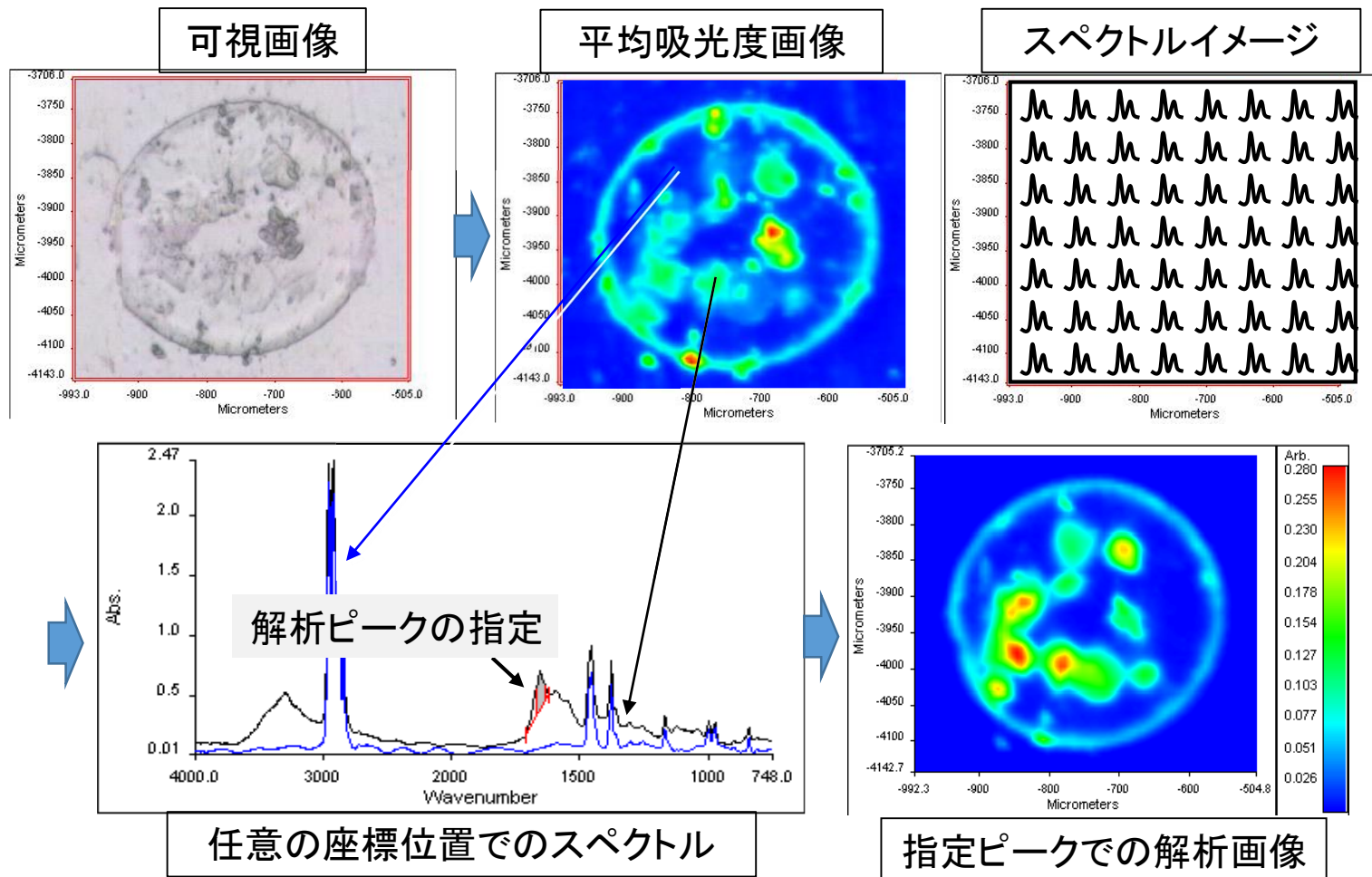


図3 イメージング(マッピング)の測定手順

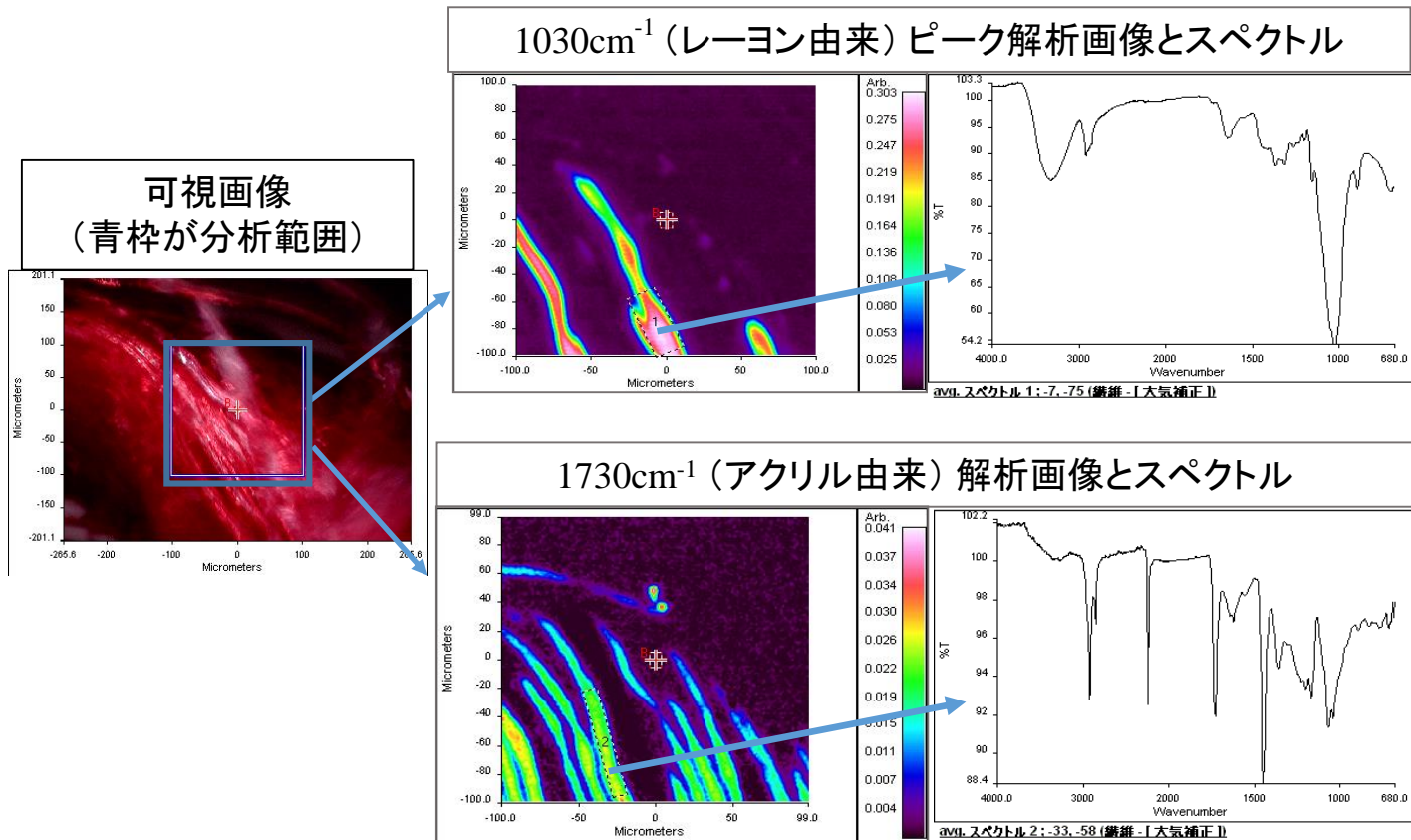


図4 混合繊維の分析

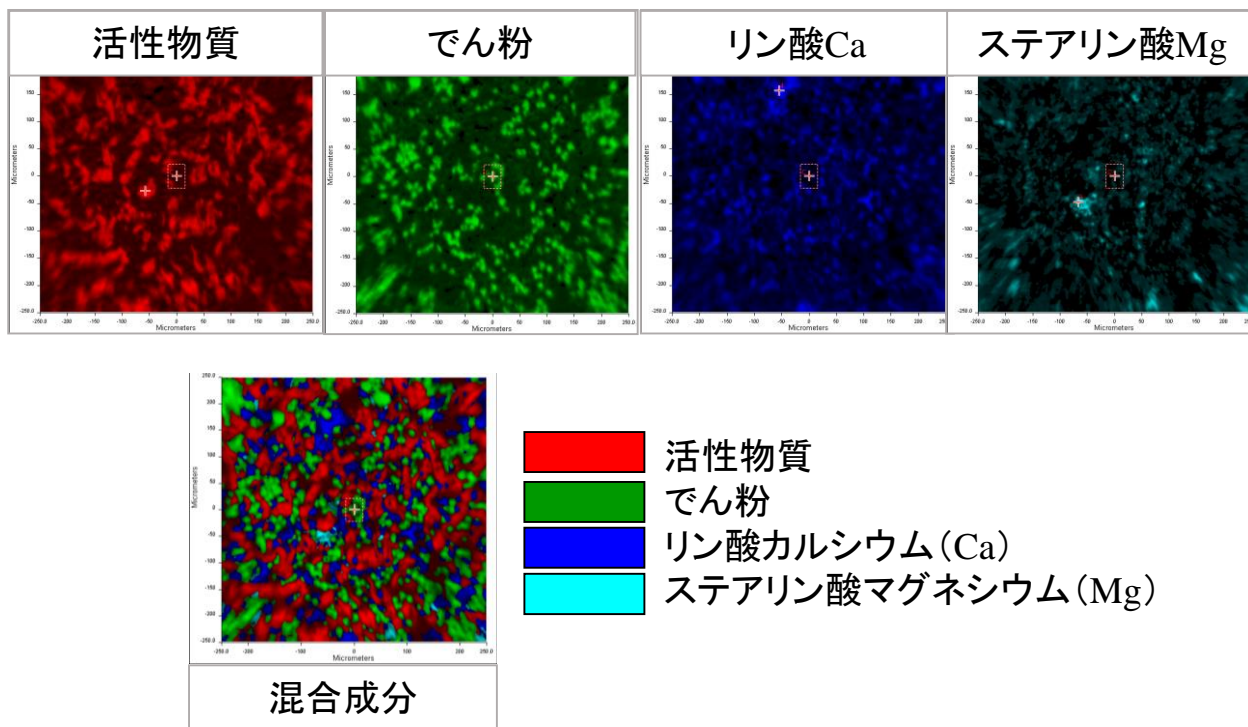


図5 錠剤の成分分布

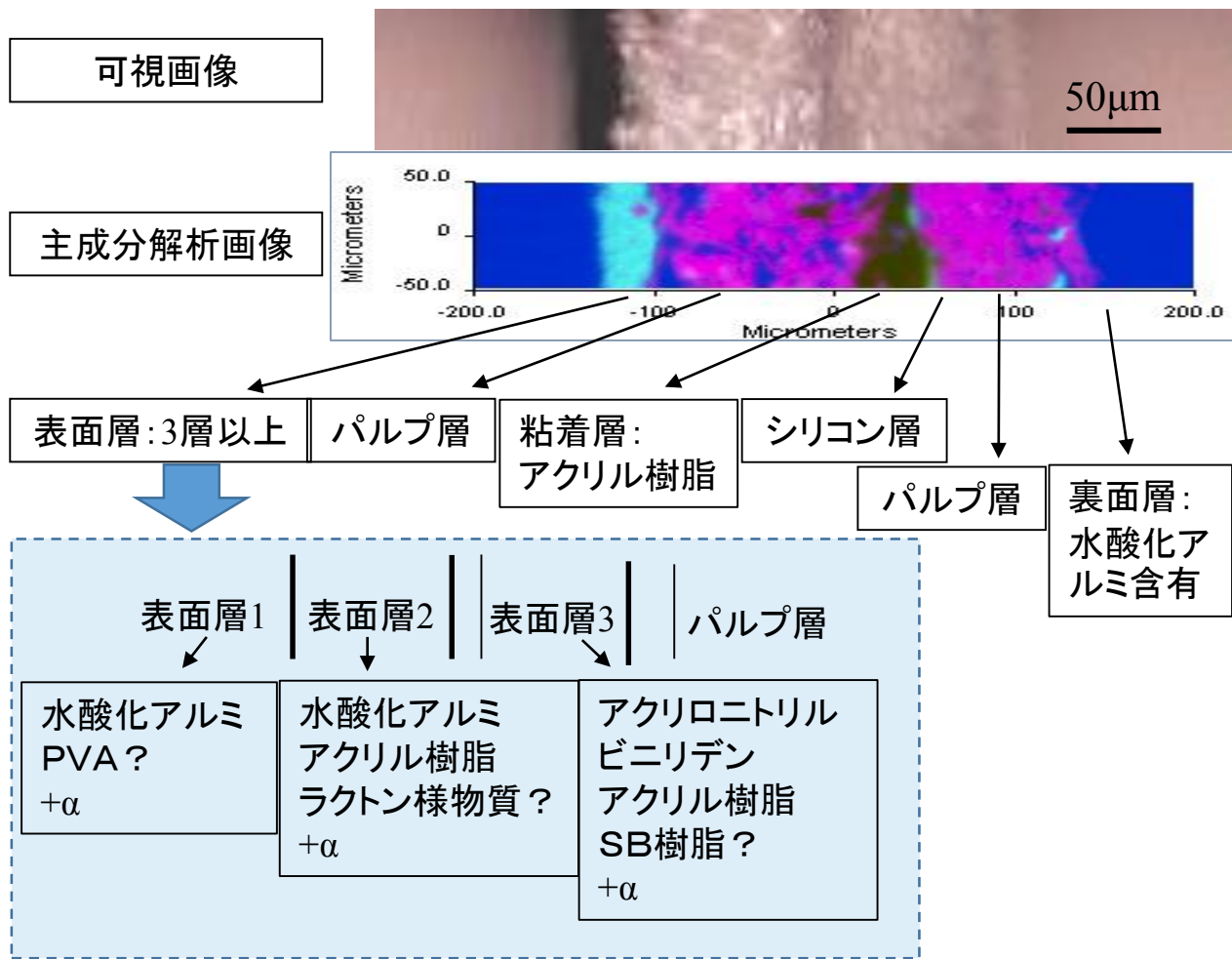


図6 感熱ラベルの分析; 層構成分析結果(本文①分析) および表面層詳細分析結果(下青枠部; 本文②分析)

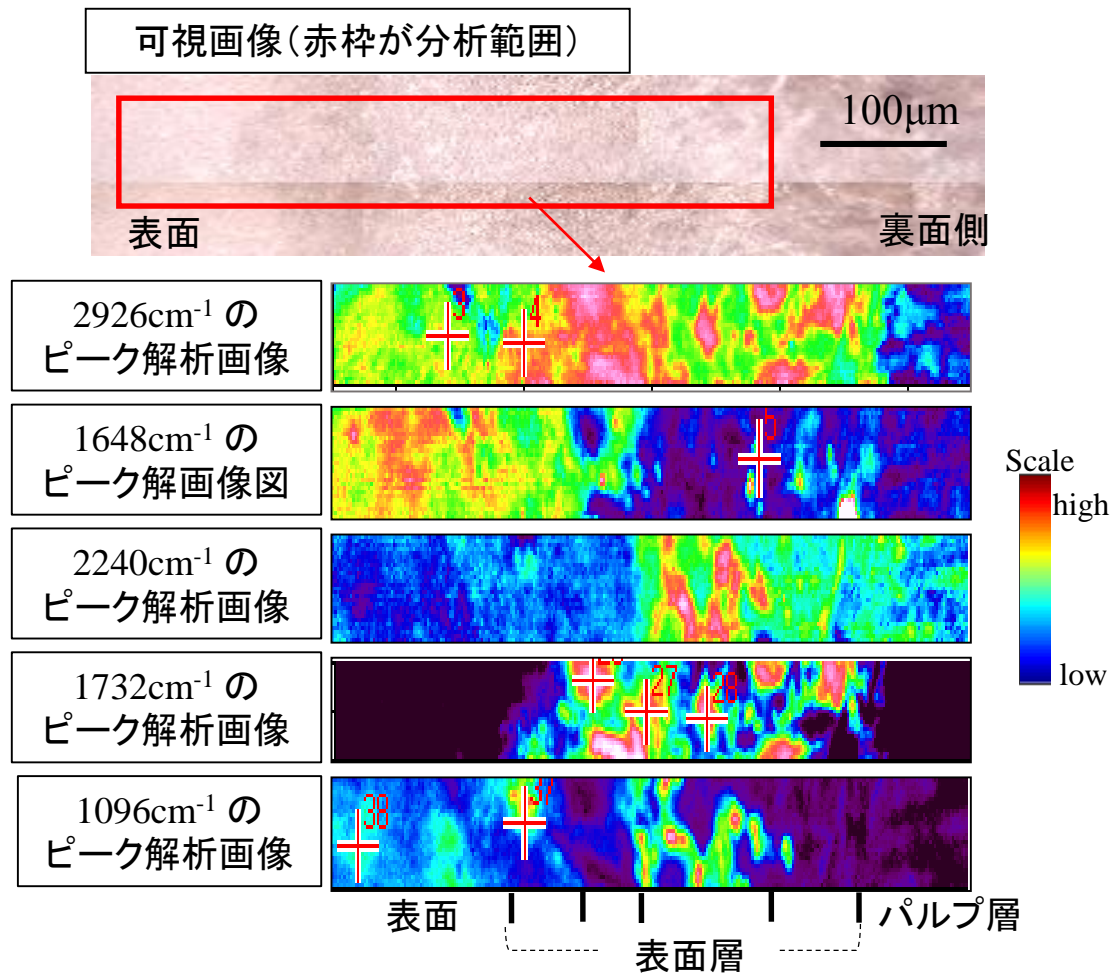


図7 感熱ラベルの分析;
表面層詳細分析(本文②分析)

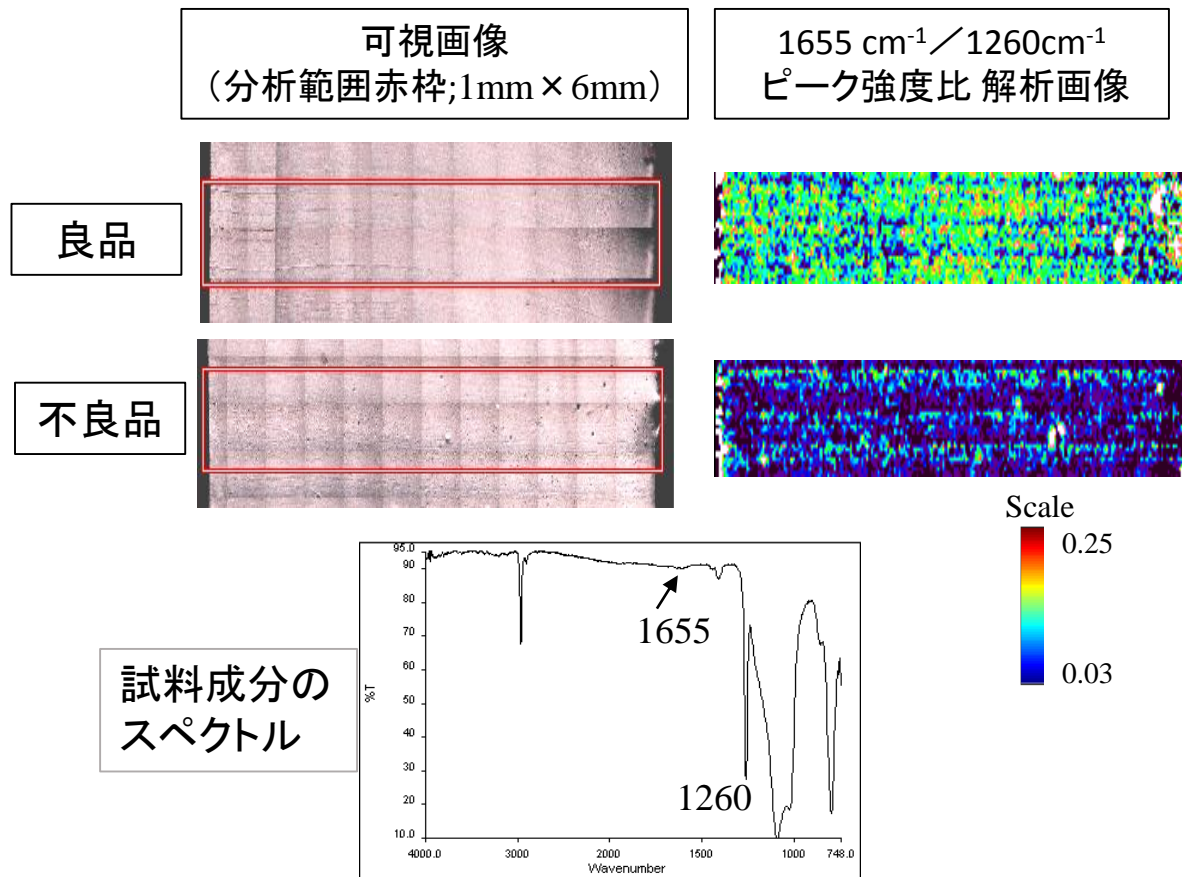


図8 良品と不良品の相違分析

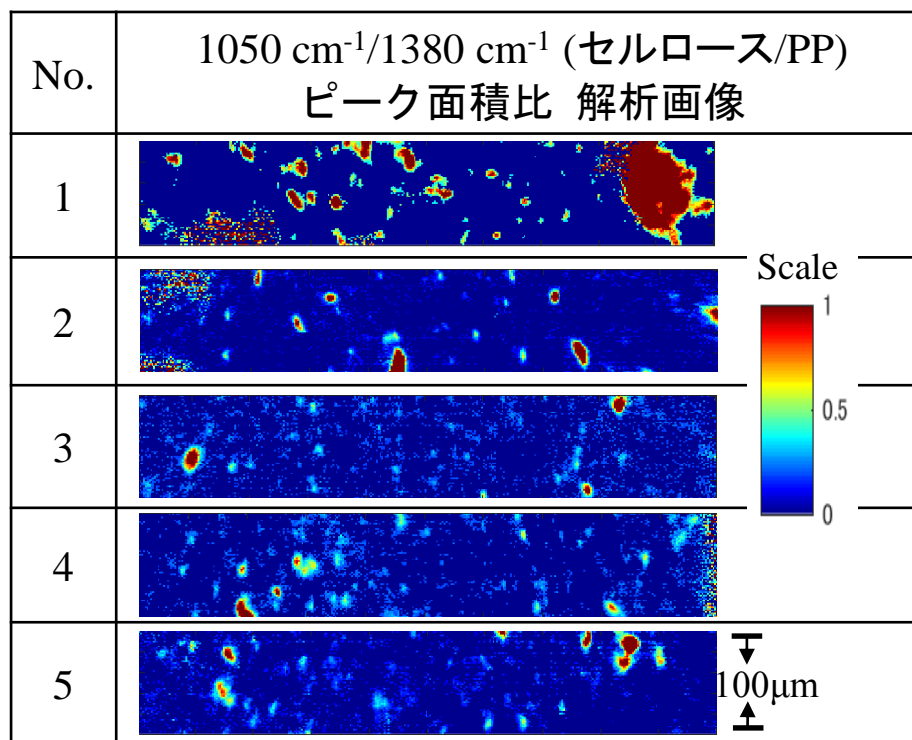


図9 PP中のセルロース分散性評価
(セルロース5%配合)

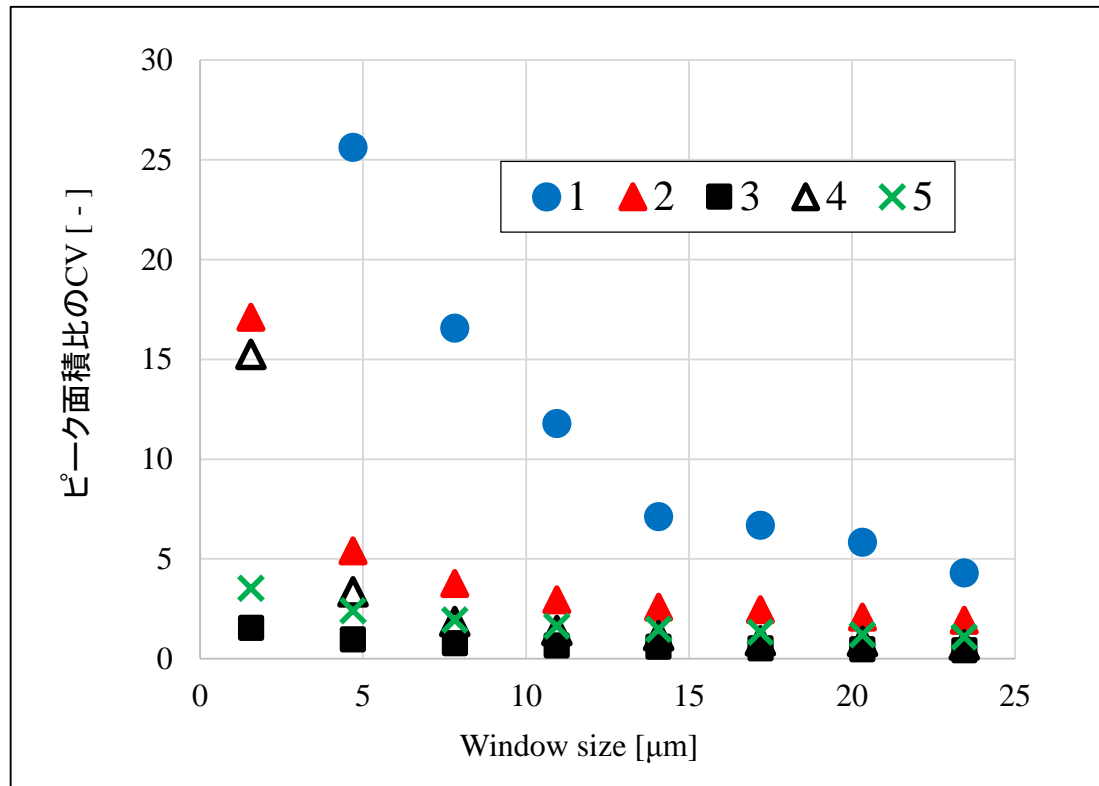




図10 PP中のセルロース分散性評価：
 窓幅サイズとセルロース/PP ピーク面積比の
 変動係数(CV;標準偏差/平均)の関係

Sample	Eccentricity [-]	Orientation [°]	1050 cm ⁻¹ /1380 cm ⁻¹ ピーク面積比0.35の 断面二値化画像
Center part	0.74	47	
Skin part	0.81	75	

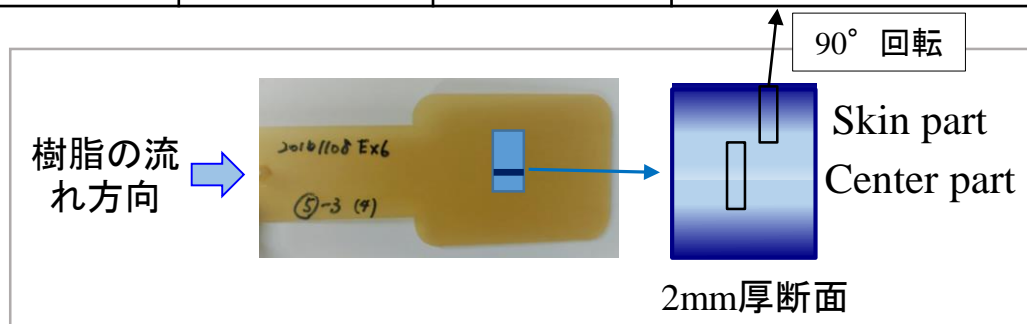


図11 PP中のセルロース(5%)の凝集形状と形状方向性の評価

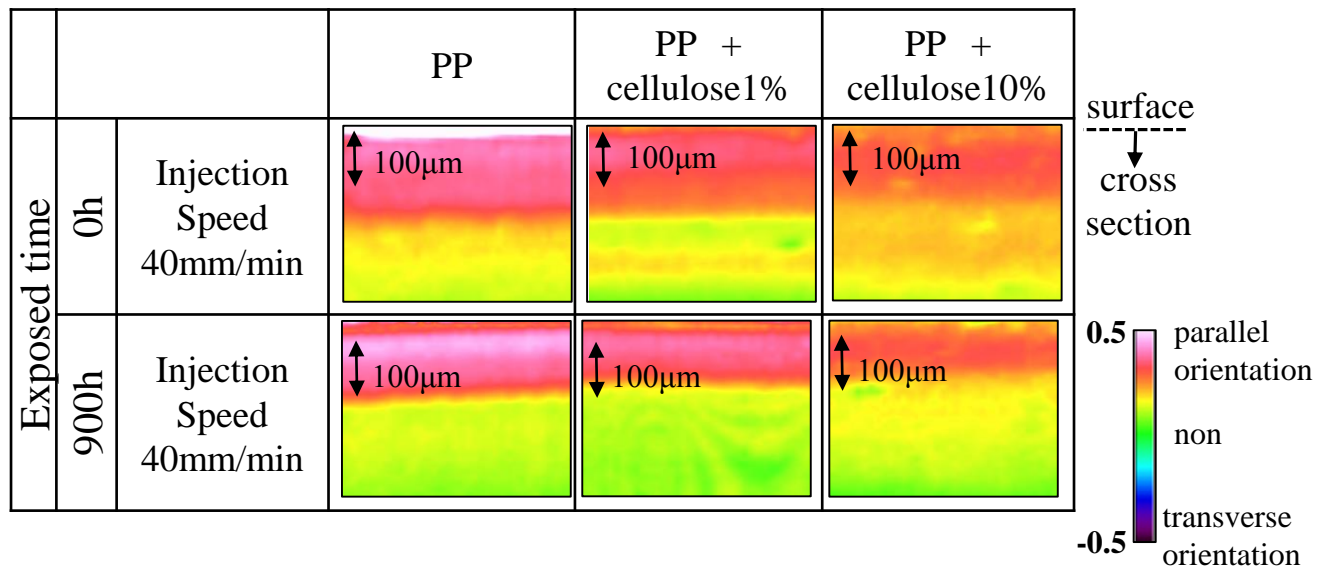


図12 PP配向解析画像;
 セルローズ / PP=0/100,1/99,10/90 試料比較、
 100°C・DRY,900時間 前・後の比較